

九州大学工学部 正員 粟谷陽一  
九州工業大学 正員 O藤崎一裕

1. まえがき

横流式沈殿池における濃度分布や除去率に関しては流速分布や拡散係数の分布を池内で一定と仮定したときの解が広く知られている。筆者らは、さきに、流速分布が対数則で表わされる場合に対して、現象を数値解により考察した。<sup>2)</sup> 本報では、拡散係数に放物形分布を、流速分布には一様分布を仮定した場合について、解析的に検討した。そして、粒子の保存則を表わす微分方程式からえられる固有値や固有関数を用いて、池内の現象を調べた。

2. 基礎式

沈殿池は開水路等流状態と考へ、粒子の濃度および沈降速度をそれぞれ  $C, w$  とすると、定常状態での粒子の保存則および境界条件は次式となる。(図1)

$$\bar{u} \frac{\partial C}{\partial \bar{x}} = \frac{\partial}{\partial \bar{y}} \left( \bar{D} \frac{\partial C}{\partial \bar{y}} + ZC \right) \quad (1)$$

$$\left. \begin{aligned} \bar{D} \frac{\partial C}{\partial \bar{y}} + ZC = 0; \bar{y} = 1 \quad (2), \quad C: \text{有限}; \bar{y} = 0 \quad (2) \\ \left. \begin{aligned} \text{ここに、} \bar{x} = x/h, \bar{y} = y/h, \bar{u} = u/(ku_w) \\ Z = w/(ku_w), \bar{D} = \bar{D} \cdot (1-\bar{y}) \end{aligned} \right\} \quad (3)$$

(1) 式で流速分布を一様分布 (= 平均流速:  $\bar{u}_m$ ) とすると、(4) 式となる。

$$\bar{u}_m \frac{\partial C}{\partial \bar{x}} = \frac{\partial}{\partial \bar{y}} \left( \bar{D} \frac{\partial C}{\partial \bar{y}} + ZC \right) \quad (4)$$

$$\bar{u}_m = \frac{1}{K^2} \cdot \left( \ln \frac{h}{y_0} - 1 \right), (K = \alpha \kappa) \quad (5)$$

$y_0$  は対数分布で  $u=0$  となる  $y$  の値である。(  $y_0 > 0$  )

(4) 式に変数分離形の解を想定して、(6) 式を用いると

$$C(\bar{y}, \bar{x}/\bar{u}_m) = g(\bar{y}) \cdot T(\bar{x}/\bar{u}_m) \quad (6)$$

$$T = A \cdot \exp \{ -\lambda \cdot \bar{x}/\bar{u}_m \}, \quad A: \text{定数} \quad (7)$$

$$\bar{y}(1-\bar{y})g'' + (Z+1-2\bar{y})g' + \lambda g = 0 \quad (8)$$

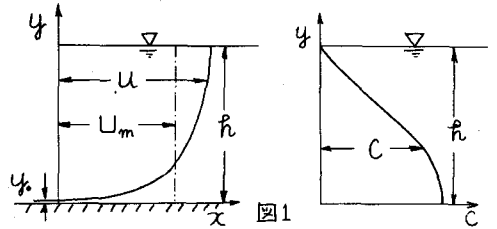
の2式がえられる。 $\lambda$  は分離定数で、(8) 式と、境界条件(9)式とから定まる固有値である。

$$\bar{y}(1-\bar{y})g' + Zg = 0; \bar{y} = 1, \quad (9.1), \quad g(y): \text{有限}; \bar{y} = 0 \quad (9.2)$$

$$\text{ここで} \quad \lambda = \alpha^2 - 1/4 \quad (10)$$

$$\alpha = 1/2 - a, \quad \beta = 1/2 + a, \quad \gamma = 1 + Z \quad (11)$$

とおくと、(8) 式は、(12) 式の超幾何微分方程式の標準形<sup>3)</sup>で表わされる。



$$\bar{y}(1-\bar{y})g'' + (\gamma - (\alpha + \beta + 1)\bar{y})g' - \alpha\beta g = 0 \quad (12)$$

上式の一般解は、超幾何級数  $F$  を用いて、(13) 式で表わされる。(式中の  $A, B$  は定数)

$$g = A \cdot F(\alpha, \beta, \gamma, \bar{y}) + B \bar{y}^{-2} F(\alpha+1, \beta+1, \gamma-2, \bar{y}) \quad (13)$$

$$\begin{aligned} F(\alpha, \beta, \gamma, \bar{y}) &= \sum_{n=0}^{\infty} \frac{(\alpha)_n (\beta)_n}{(\gamma)_n} \frac{1}{n!} \bar{y}^n \\ &= (1-\bar{y})^{-\alpha-\beta} \sum_{n=0}^{\infty} \frac{(\gamma-\alpha)_n (\gamma-\beta)_n}{(\gamma)_n} \frac{1}{n!} \bar{y}^n \quad (14) \end{aligned}$$

$$(\alpha)_n = \alpha(\alpha+1)(\alpha+2)\dots(\alpha+n-1), \quad (\alpha)_0 = 1$$

なお、境界条件式(9.2)から、(13) 式が2項は省略できる。以上のことから、(4) 式の解は、次のように表わされる。

$$C = \sum_{n=0}^{\infty} a_n g_n \exp(-\lambda_n \bar{x}/\bar{u}_m) \quad (15)$$

$$\lambda_n = (Z+n)(Z+n+1), \quad n=0, 1, \dots \quad (16)$$

$$\left. \begin{aligned} g_0 &= (1-\bar{y})^2, \quad g_1 = (1-\bar{y})^2(1-2\bar{y}), \\ g_2 &= (1-\bar{y})^2 \left\{ 1 - 2(2Z+3)/(4Z) \cdot \bar{y}(1-\bar{y}) \right\}, \\ &\dots \\ g_n &= (1-\bar{y})^2 \sum_{m=0}^n \frac{(Z+\frac{1}{2}+a)_m (Z+\frac{1}{2}-a)_m}{(1+Z)_m} \frac{\bar{y}^m}{m!} \end{aligned} \right\} \quad (17)$$

$$a_n = \frac{\int_0^1 \left( \frac{1-\bar{y}}{\bar{y}} \right)^2 g_n d\bar{y}}{\int_0^1 \left( \frac{1-\bar{y}}{\bar{y}} \right)^2 g_n^2 d\bar{y}} \quad (18)$$

上式で、 $\lambda_n$  および  $g_n$  はそれぞれ  $n$  次の固有値と固有関数に対応する。また、初期条件の展開係数は、 $g_n$  が  $\left\{ \frac{1-\bar{y}}{\bar{y}} \right\}^2$  と重み関数として直交することから求められている。次頁図2に、 $g_n$  と  $Z, \bar{y}$  との関係を示す。図2には、 $Z$  が大きくなるにつれて、 $\bar{y}$  の値が大きい箇所での変化が小さくなる様子が出ている。

### 3. 濃度分布と除去率

図3中の×印は(15)式で求めた濃度分布の1例を示す。流下方向距離としては、 $\bar{y}/\bar{U}_m$ の代りに $w/w_o$ を用いた。両者の間には

$$w/w_o = \bar{y}/\bar{U}_m \cdot 1/Z \quad (19)$$

の関係があり、 $w_o$ は over flow rate である。

図中の破線は、(15)式オ1項のみによる値を示し、 $w/w_o$ の増大とともに、高次の項の影響が小さくなっていることがわかる。

図4には、水深方向に平均した粒子濃度 $\langle C \rangle$ の流下方向の変化を示す。Zが小さいほど、 $w/w_o$ の小さな値から、 $\log\langle C \rangle$ と $w/w_o$ との間に直線関係が成立している。

$$\begin{aligned} \langle C \rangle &= \int C dy = \sum A_n e^{-\lambda_n/2 \cdot w/w_o} \int q_n dy \\ &= \sum A_n e^{-\lambda_n/2 \cdot w/w_o}, \quad A_n = A_n \int q_n dy \end{aligned} \quad (20)$$

であるから、Zの値が小さいほど、高次の項の影響が小さいことが表われている。

除去率 $r$ を次式で定義すると

$$\begin{aligned} r &= \frac{\int_0^h u \cdot 1 \cdot dy - \int_0^h u \cdot C \cdot dy}{\int_0^h u \cdot 1 \cdot dy} = 1 - \frac{\bar{U}_m \int_0^h C \cdot dy}{\int_0^h u \cdot 1 \cdot dy} \\ &= 1 - \langle C \rangle = 1 - \sum_{n=0}^{\infty} A_n e^{-\lambda_n/2 \cdot w/w_o} \end{aligned} \quad (21)$$

となる。(17)、(20)式から上式の $A_n$ は

$$A_0 = \frac{\Gamma(2Z+2)}{\Gamma(Z+2)^2}, \quad A_1 = A_0 \cdot (2Z+3) \left(\frac{Z}{Z+2}\right)^2, \quad \Gamma: \text{ガンマ関数} \quad (22)$$

などとなるが、 $n$ の増大とともに $A_n$ が複雑になる。Z $\leq 0.5$ までは、(21)式オ1項のみによる除去率の値で十分であるが、Zが大きくなると、より高次の項も無視できず、計算が繁雑になる。図4中の一点鎖線は以下の近似式によるもので、(21)式との差は2%以下である。

$$1-r = \frac{(Z+1)/A_0 + w/w_o}{1 + w/w_o} \cdot \frac{A_0 \cdot e^{-(Z+1)w/w_o}}{1 + Z \cdot e^{-(Z+1)w/w_o}} \quad (23)$$

なお、図3と図5では、今回の一様流の結果と他の場合とを比較した。(—:対数則, ○:Campの解) 除去率に関しては、いついの場合も大差ないことがわかる。

#### 参考文献

- 1) Camp, T.R.: PASCE, Vol. 71, 1945, P.945
- 2) 栗谷, 藤崎: 土木学会論文集, 第277号, 1978, P.133
- 3) Sumer, B.M.: PASCE, vol. 103, No. HY11, 1977, p.1323

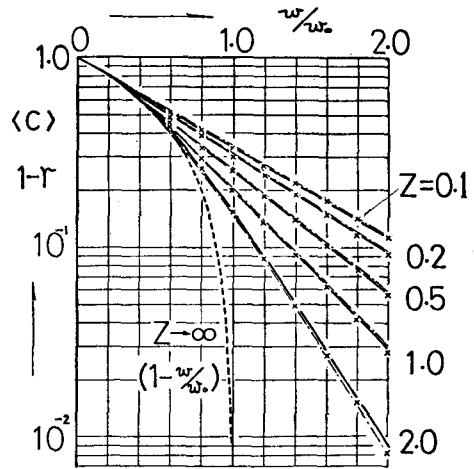
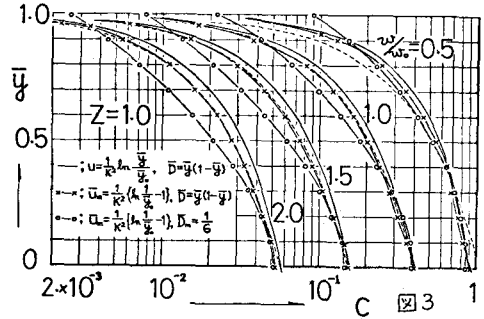
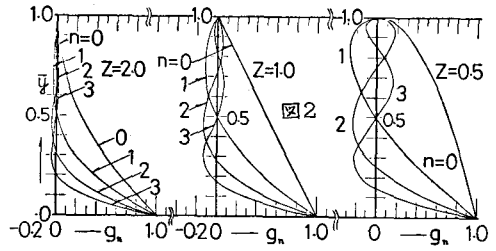


図4

図5

